



Máster Universitario en Informática Gráfica, Videojuegos y Realidad Virtual

Curso Académico 2019/2020

Solvers de Elasticidad y Restricciones en Simulación

Autora: Clara Peñalva Carbonell

Tutor: Miguel Ángel Otaduy Tristán

Índice

1. Motivación y objetivos
2. Conceptos previos
3. Escenario de prueba
4. Solvers
 1. Position-Based Dynamics
 1. Extended Position-Based Dynamics
 2. Projective Dynamics
 1. Fast Simulation of Mass-Spring System
 2. ADMM Projective Dynamics
5. Estudio y discusión de resultados
6. Conclusiones



1. Motivación y objetivos

1. Motivación y objetivos

- La animación basada en física se utiliza en distintos sectores:

- Industria del cine
- Videojuegos
- Simuladores de entrenamiento
- ...

} Distintas necesidades de mercado

- Requisitos de las técnicas de animación:

- Rápida
- Precisa
- General
- Simple

} No existe un método perfecto

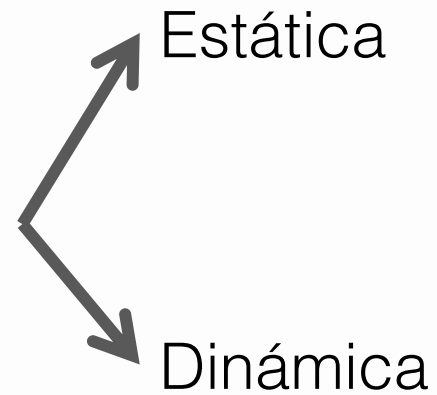
1. Motivación y objetivos

- Analizar métodos de integración:

- Position-Based
- Projective Dynamics



2 perspectivas





2. Conceptos previos

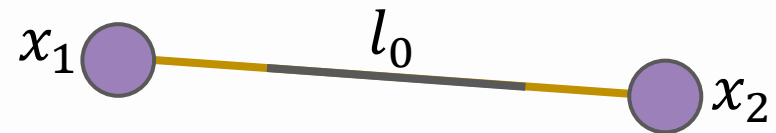
2.1 Backward Euler Implícito

- Segunda Ley de Newton: $\sum F_i = m \cdot a$
- Posiciones a lo largo del tiempo:
 - $v(t + dt) = v(t) + M^{-1}F(x(t + dt)) \cdot dt$
 - $x(t + dt) = x(t) + v(t + dt) \cdot dt$
- Linealizando fuerzas:
 - $\left(M - dt^2 \cdot \frac{dF}{dx} \right) \cdot v(t + dt) = M \cdot v(t) + dt \cdot F(x(t))$

2.2 Propiedad C

- C = propiedad del sistema que se quiere mantener
- Ejemplo: en masa-muelle \rightarrow métrica de deformación:

$$C = |x_1 - x_2| - l_0$$



- Energía: $E = 1/2 \cdot k \cdot C^T \cdot C \rightarrow$ fuerzas, Hessiana...

- Restricción $\begin{cases} \rightarrow$ Débil \\ \rightarrow Fuerte \end{cases} \rightarrow
- Optimización

3. Escenario de prueba

3. Escenario de prueba

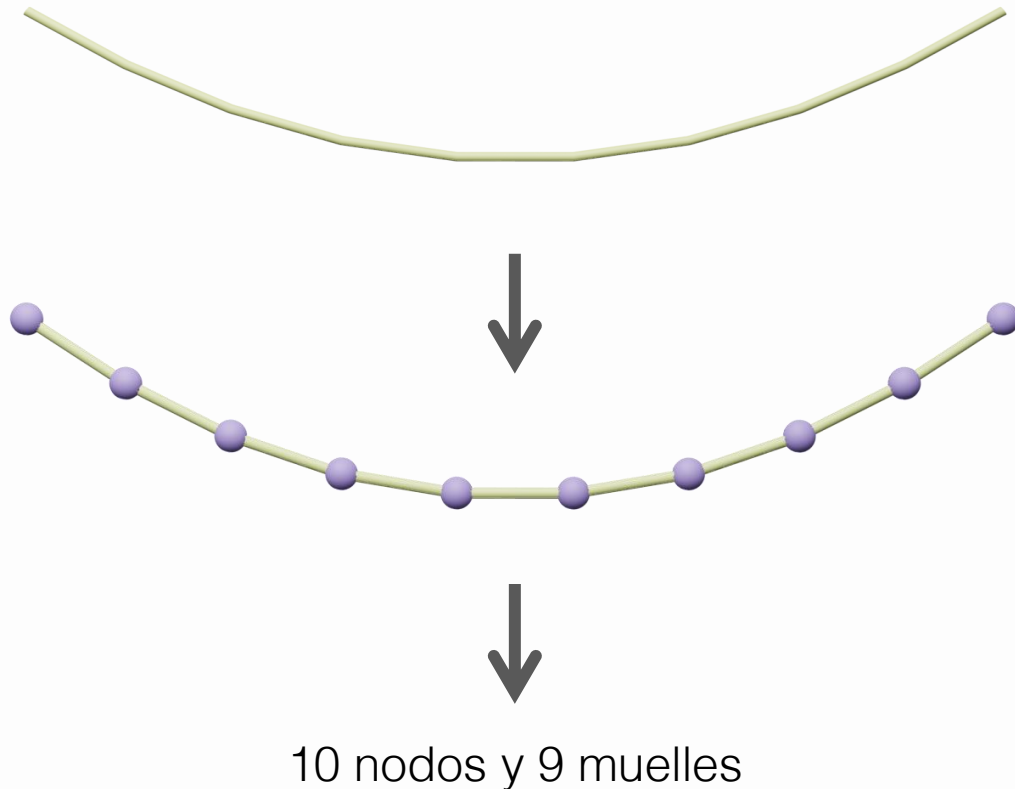
¿Qué queremos?

- Simular objeto deformable
- Repetibilidad de las pruebas
- Resultados manejables
- Escenario controlable

¿Cómo lo conseguimos?

- Discretización masa-muelle
- Fuerzas de elasticidad entre nodos
- Simulamos una cuerda con extremos fijos
- Cae por la gravedad

3. Escenario de prueba



¿Cómo lo conseguimos?

- Discretización masa-muelle
- Fuerzas de elasticidad entre nodos
- Simulamos una cuerda con extremos fijos
- Cae por la gravedad

3.1 Condiciones de contorno

- Establecer condiciones de contorno en el sistema lineal antes de su resolución:

$$\begin{pmatrix} A_1 & A_2 \\ A_3 & A_4 \end{pmatrix} \begin{pmatrix} x_1 \\ x_2 \end{pmatrix} = \begin{pmatrix} b_1 \\ b_2 \end{pmatrix} \xrightarrow{\text{fijar } x_2 = \bar{x}_2} \begin{pmatrix} A_1 & 0 \\ 0 & I \end{pmatrix} \begin{pmatrix} x_1 \\ x_2 \end{pmatrix} = \begin{pmatrix} b_1 - A_2 \bar{x}_2 \\ \bar{x}_2 \end{pmatrix}$$

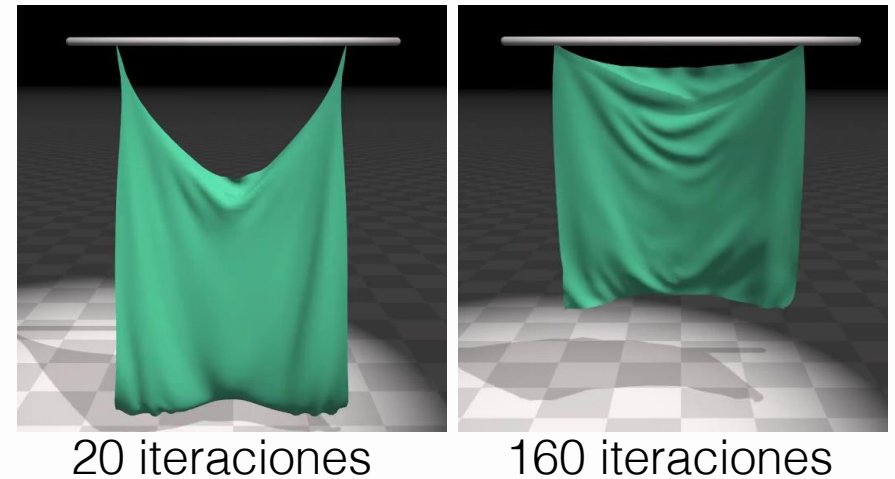
- Vectores precalculados para redefinir A y b

4. Solvers



4.1 Position-Based Dynamics (Müller, et al., 2007)

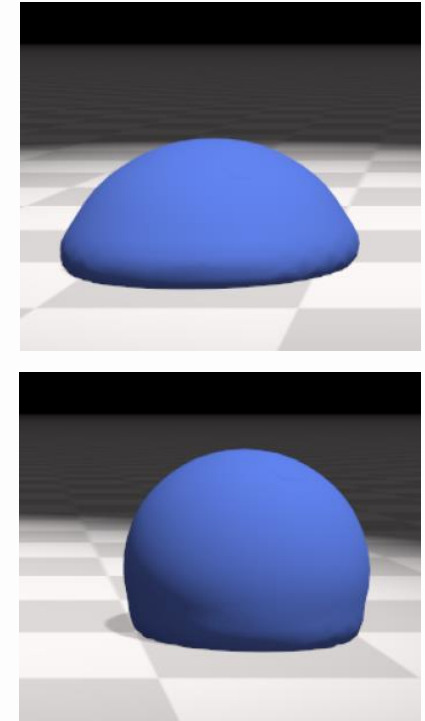
- Resuelve directamente las posiciones
- $\mathcal{C} \rightarrow$ restricción proyectada por cada muelle
- Resultados visualmente plausibles ✓
- Eficiente ✓
- La rigidez no tiene una base física ✗
- La rigidez depende del número de iteraciones ✗



(Macklin, et al., 2016)

4.1.1 Extended Position-Based Dynamics (Macklin, et al., 2016)

- Deriva de una formulación de *compliant constraint*:
 - *Compliance*: $\alpha = 1/k$ y $\tilde{\alpha} = \alpha/dt^2$ para cada restricción
- Introduce multiplicadores de Lagrange: $\lambda = -\tilde{\alpha}^{-1}C(x)$
- $$F = -\frac{\partial E}{\partial x} = -\nabla C^T(x) \tilde{\alpha}^{-1}C(x) = -\nabla C^T(x) \lambda$$



(Macklin, et al., 2016)

4.1.1 Extended Position-Based Dynamics (Macklin, et al., 2016)

- Ecuación de movimiento *compliant constrained*:

$$Ma - \nabla C^T(x)\lambda = 0$$

$$C(x) + \alpha\lambda = 0$$

Aproximaciones



$$[\nabla C(x_i)M^{-1}\nabla C(x_i)^T + \tilde{\alpha}]\Delta\lambda = -C(x_i) - \tilde{\alpha}\lambda_i$$

4.1.1 Extended Position-Based Dynamics (Macklin, et al., 2016)

En general:

- Por cada restricción:

$$\bullet \Delta\lambda = \frac{-\mathbf{C}_j(\mathbf{x}_i) - \tilde{\alpha}_j \lambda_{ij}}{\nabla \mathbf{C}_j M^{-1} \nabla \mathbf{C}_j^T + \tilde{\alpha}_j}$$

$$\bullet \Delta \mathbf{x} = M^{-1} \nabla \mathbf{C}(\mathbf{x}_i)^T \Delta \lambda$$

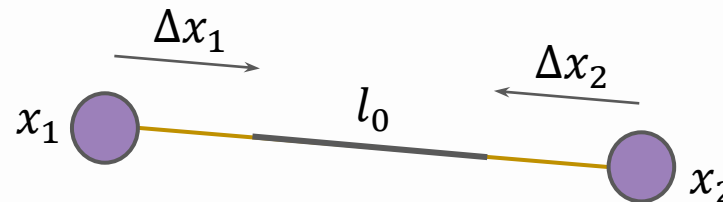
En nuestra prueba:

- Por cada restricción:

$$\bullet \mathbf{C} = |x_1 - x_2| - l_0 = 0$$

$$\bullet \nabla \mathbf{C}(\mathbf{x}_1, \mathbf{x}_2) = \begin{pmatrix} \frac{\partial \mathbf{C}}{\partial x_1} & \frac{\partial \mathbf{C}}{\partial x_2} \end{pmatrix}$$

$$= \begin{pmatrix} \frac{x_1 - x_2}{|x_1 - x_2|} & \frac{-(x_1 - x_2)}{|x_1 - x_2|} \end{pmatrix}$$



4.2 Projective Dynamics

- Euler Implícito visto como una optimización:

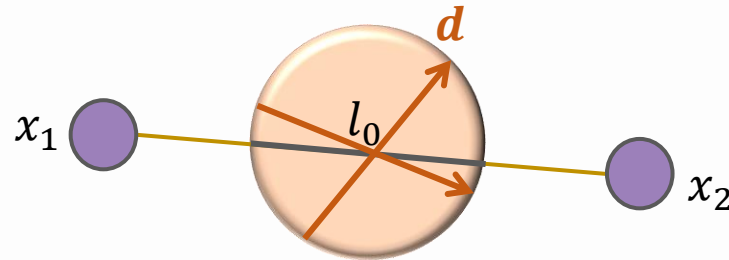
$$x^{n+1} = \min_x \left(\frac{1}{2dt^2} (x^n - y)^T M (x^n - y) + E(x) \right)$$

4.2.1 Fast Simulation of Mass-Spring Systems (Liu, et al., 2013)

- Ley de Hooke optimizada con restricciones:

- $C = |d| = l_0$

- $\frac{1}{2}k(|x_1 - x_2| - l_0)^2 = \frac{1}{2}k(|x_1 - x_2| - |d|)^2$



(Liu, et al., 2013)

4.2.1 Fast Simulation of Mass-Spring Systems (Liu, et al., 2013)

$$\min_{x \in \mathbb{R}^{3m}, d \in U} \frac{1}{2} x^T (M + dt^2 L) x - dt^2 x^T J d + x^T b$$

- **Local**: a cada energía, proyectando d en cada muelle
- **Global**: a todos los nodos, se resuelve un sistema lineal
- **Constante**: no depende de x o d , podemos precalcularlo

4.2.1 Fast Simulation of Mass-Spring Systems (Liu, et al., 2013)

$$\min_{x \in \mathbb{R}^{3m}, d \in U} \frac{1}{2} x^T (M + dt^2 L) x - dt^2 x^T J d + x^T b$$

- **Local:** $d_i = l_0 \frac{x_1 - x_2}{|x_1 - x_2|}$
- **Global:** $(M + dt^2 L)x = J \cdot d \cdot dt^2 - b$
- **Constante:** podemos precalcularlo

El *solver* alterna los cálculos

4.2.2 ADMM \cong Projective Dynamics (Overby, et al., 2017)

- Define variables **locales** a cada energía:

- $z = Dx$

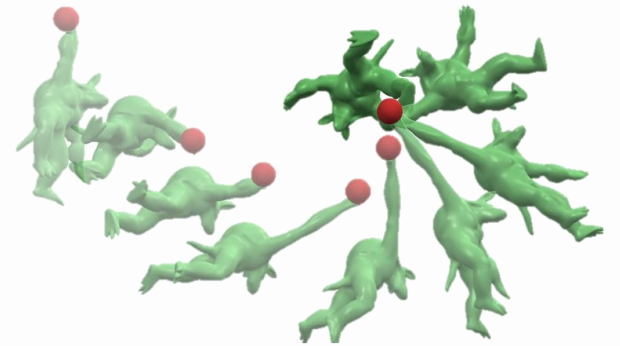
z = variable auxiliar que define una restricción

D = matriz de reducción \rightarrow coordenadas locales

- Resolución lineal **global**



Permite aplicar el *solver* ADMM



(Overby, et al., 2017)

4.2.2 ADMM \cong Projective Dynamics (Overby, et al., 2017)

- Una vez resuelto el problema por ADMM, queda:

- $\mathbf{z}_i^{n+1} = \underset{z_i}{\operatorname{arg\,min}} \left(U_i(z_i) + \frac{1}{2} |W_i(D_i \mathbf{x}^{n+1} - z_i + \bar{u}_i^n)|^2 \right)$

- $\bar{u}_i^{n+1} = \bar{u}_i^n + D_i \mathbf{x}^{n+1} - z_i^{n+1}$

↑ Variable dual de ADMM

Local

- $(M + dt^2 D^T W^T W D) \cdot \mathbf{x}^{n+1} = (M \tilde{\mathbf{x}} + dt^2 D^T W W (z^n - \bar{u}^n))$

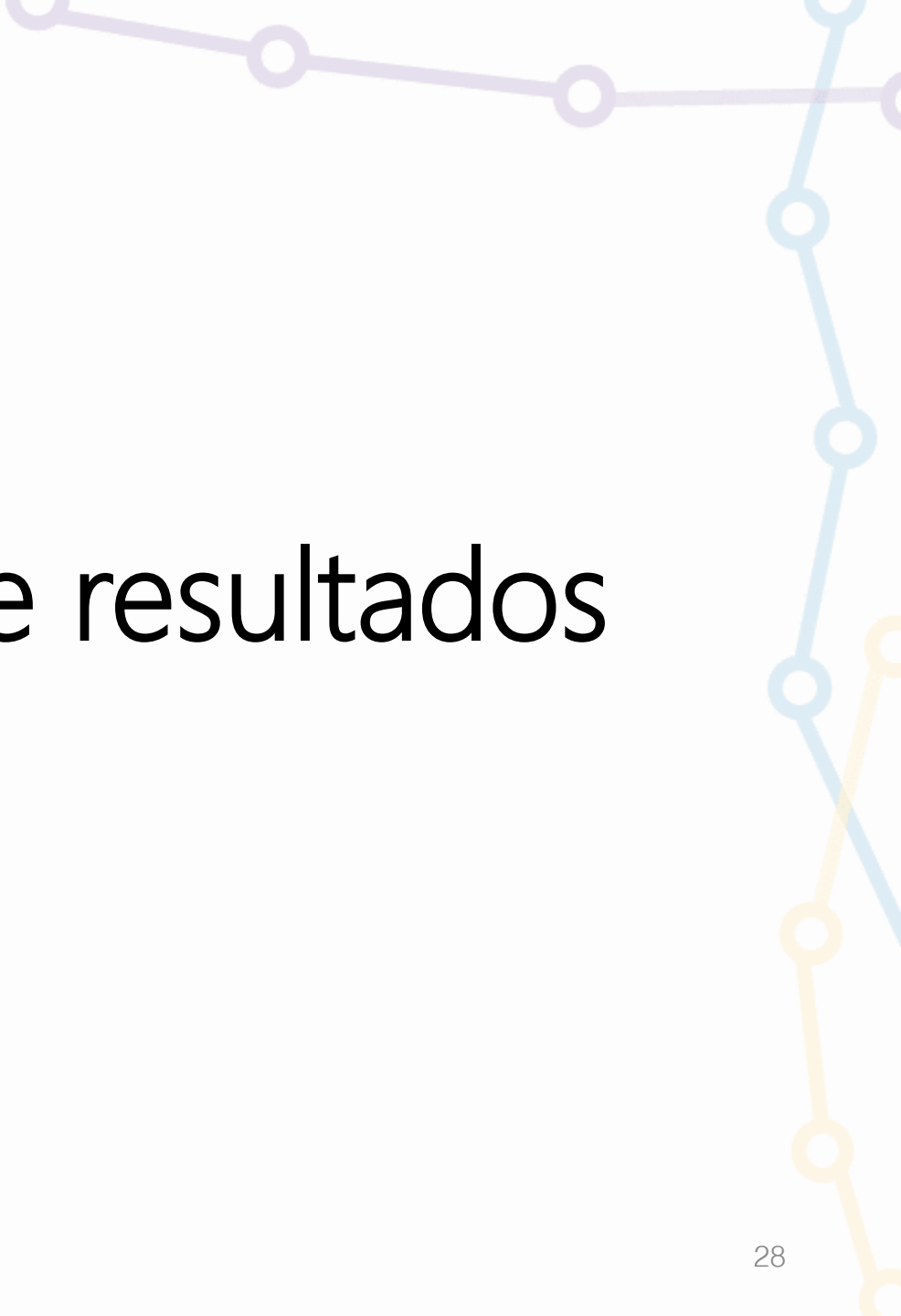
Global

4.2.2 ADMM \cong Projective Dynamics (Overby, et al., 2017)

- En nuestra prueba:

$$z_i^{n+1} = \frac{1}{2} \cdot (p_i^{n+1} + D_i \cdot x^{n+1} + \bar{u}_i^n)$$

$$P_i \leftarrow \text{proj}_{C_i} (D_i x)$$



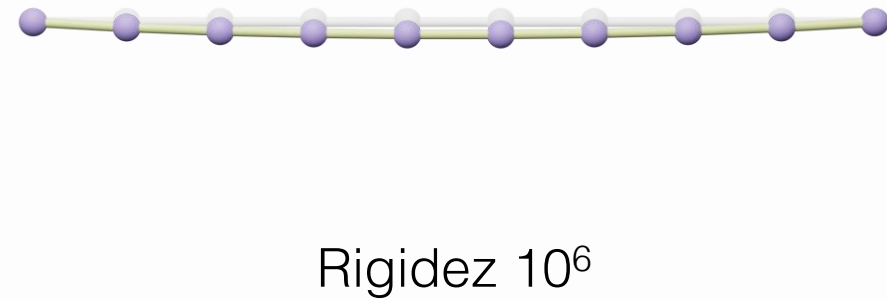
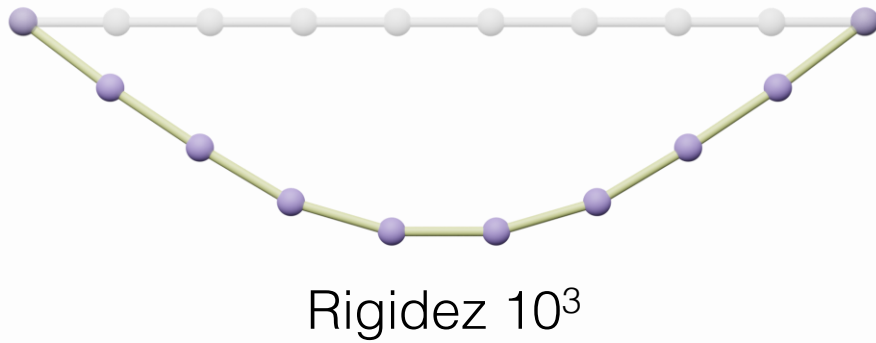
5. Estudio y discusión de resultados

5.1 Introducción

- Métricas:
 - Análisis **estático**:
 - Error absoluto del estado de reposo con respecto a la solución base (backward Euler Implícito con 5 iteraciones, dt: 0.001s)
 - Análisis **dinámico**:
 - Oscilaciones (máximos de E_k)
 - Periodo de E_k
- Consideramos que llega a reposo cuando: $E_k < 0,001\text{J}$

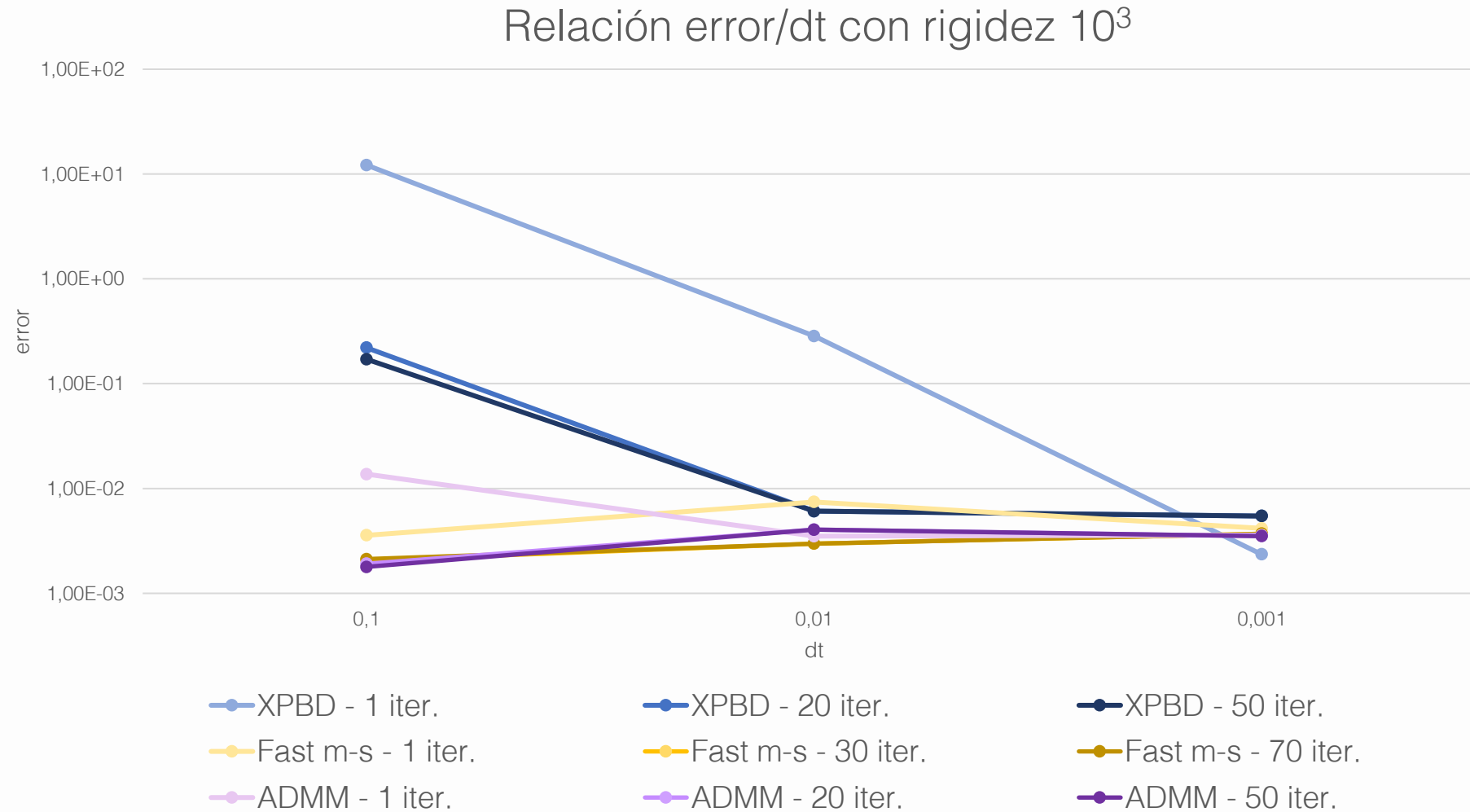
5.1 Introducción

- 2 casos de rigidez:

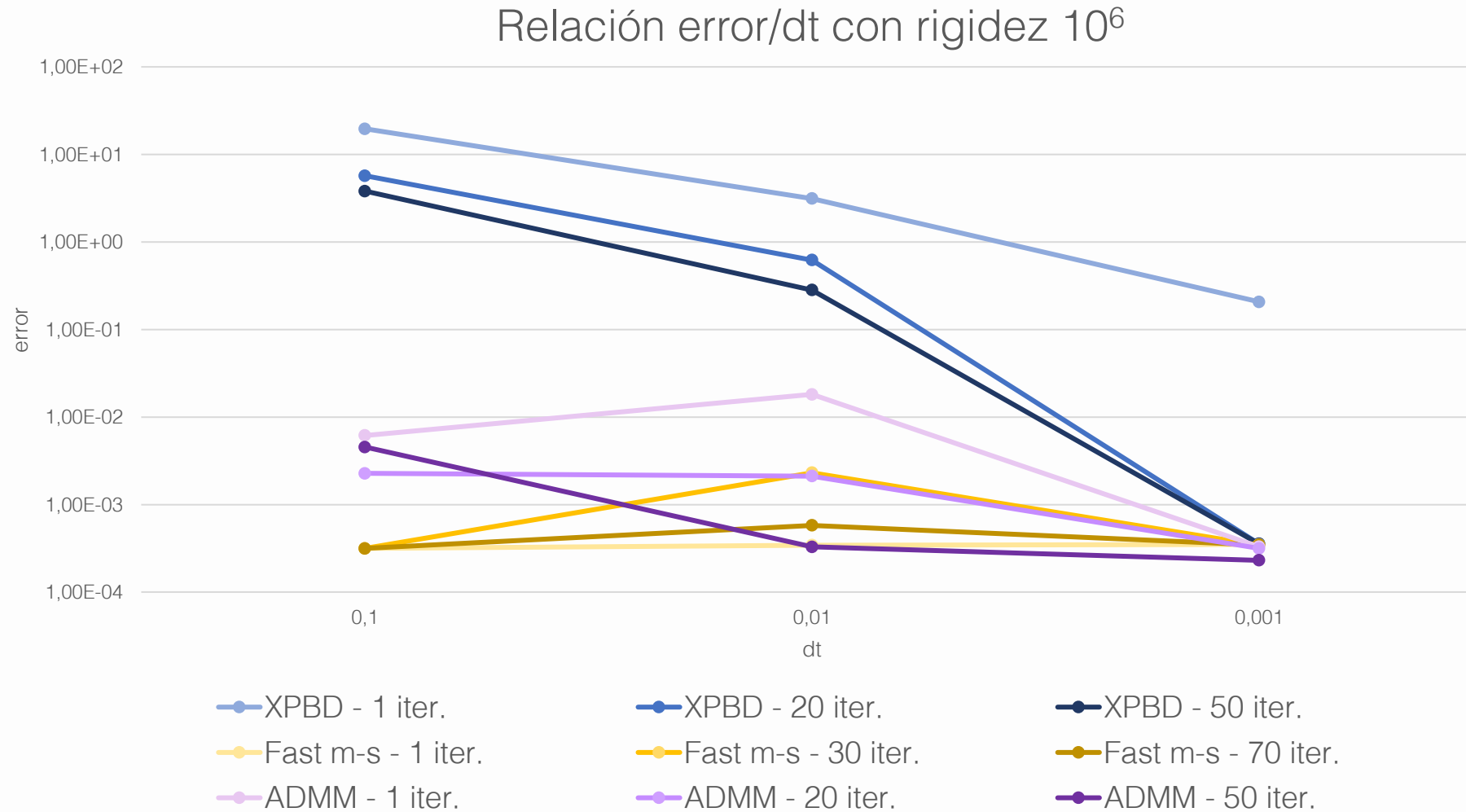


- 3 muestras de dt e iteraciones

5.2 Estudiando la estática



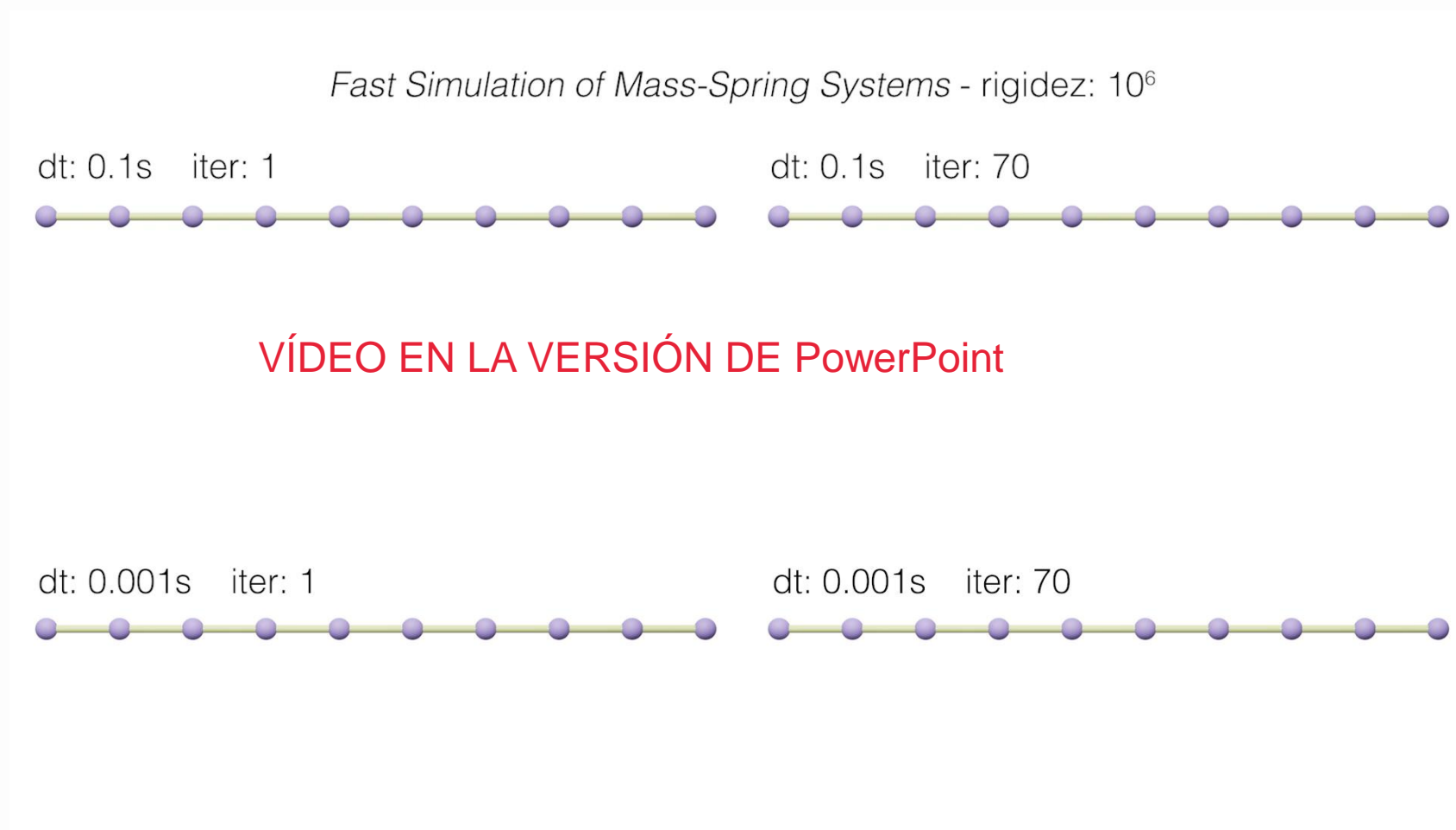
5.2 Estudiando la estática



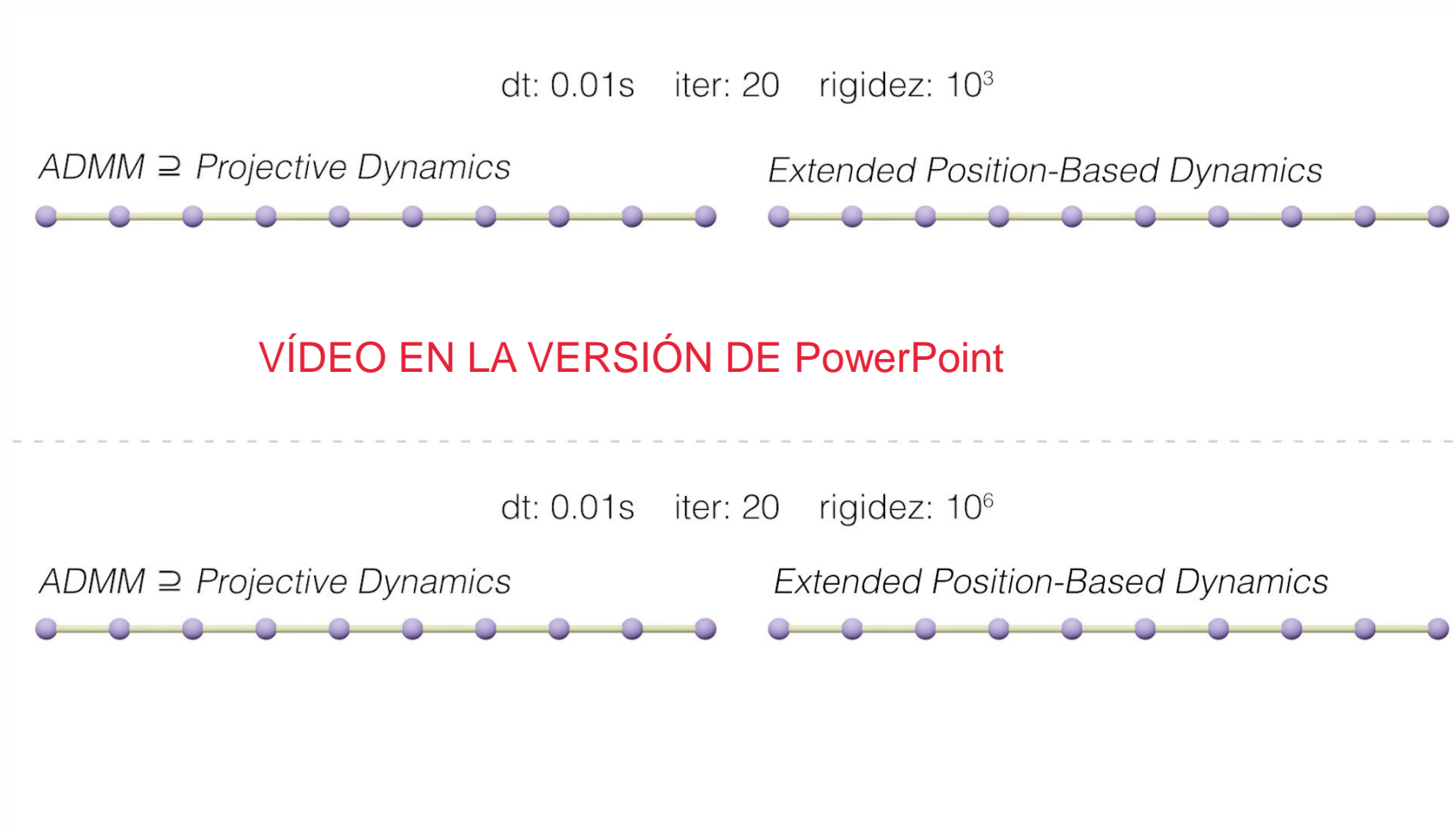
5.2 Estudiando la estática

- En general: \uparrow trabajo del sistema \downarrow error
- XPBD: no es tan preciso: \downarrow iteraciones puede no convergir **X**
- Projective Dynamics: consigue mayor precisión **✓**
 - Fast Simulation of Mass-Spring Systems: limitado **X**
 - ADMM \cong Projective Dynamics: **✓**

5.3 Estudiando la dinámica



5.3 Estudiando la dinámica



5.3 Estudiando la dinámica

- En general:
 - El cambio del dt influye en el comportamiento
 - \uparrow rigidez \downarrow comportamiento correcto
- Fast Simulation of Mass-Spring Systems: \downarrow iteraciones \uparrow amortiguamiento **X**
- **ADMM \cong Projective Dynamics:** } visualmente plausible con iteraciones medias **✓**
- **XPBD:** }

6. Conclusiones

6. Conclusiones

- Hemos estudiado e implementado distintos *solvers* de dos familias actuales
 - + Backward Euler Implícito
- Hemos definido las condiciones de contorno
- Hemos desarrollado una batería de pruebas para compararlos

6. Conclusiones

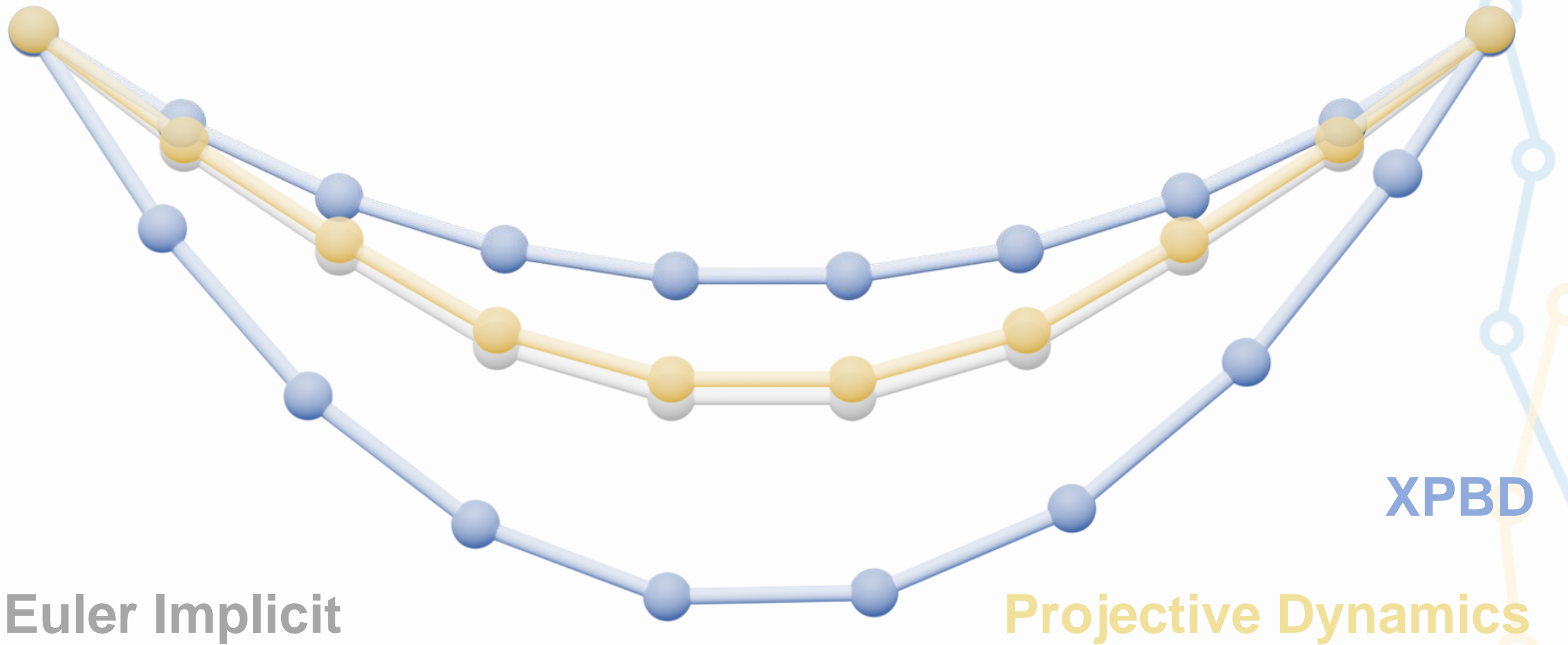
- XPBD: obtiene un buen comportamiento dinámico pero presenta mayor error
- Fast simulation of Mass-Spring Systems: en ciertas situaciones introduce demasiada amortiguación. Al derivar directamente de Euler Implícito, alcanza con poco error la solución.
- ADMM \cong Projective Dynamics: en general, reúne las dos características positivas de los anteriores métodos.

6. Conclusiones

- ADMM obtiene resultados bastante positivos
- Trabajo futuro:
 - Aumentar dimensionalidades del problema
 - Continuar el estudio de métodos basados en Projective Dynamics



Gracias por su atención



Euler Implicit

Projective Dynamics

XPBD